

Литература

1. Novik V.K., Gavrilova N.D. // Ferroelectrics. 1981. **34**. P. 4755.
2. Лайнс М., Гласс А. Сегнетоэлектрики и родственные им материалы. М., 1981.
3. Верховская К.А. Дис. ... д-ра физ.-мат. наук. М. (Ин-т кристаллографии РАН), 1995.
4. Верховская К.А., Бунэ А.В. // ФТТ. 1991. **33**. С. 1659.
5. Valdes-Aguilera O., Neckers D.C. // Acc. Chem. Res. 1989. **22**. P. 171.
6. Фролова Т.Б. Дис. ... канд. физ.-мат. наук. М. (МГУ), 1997.
7. Furukawa T., Johnson G.E. // J. Appl. Phys. 1981. **22**, No. 2. P. 940.

8. Ситникова Н.Л., Мальшикина И.А., Гаврилова Н.Д. и др. // Вестн. Моск. ун-та. Физ. Астрон. 1998. № 2. С. 38 (Moscow University Phys. Bull. 1998. No. 2).
9. Больщакова Н.Н., Гаврилова Н.Д., Мальшикина И.А. и др. // Кристаллография. 1998. **43**, № 6. С. 1124.
10. Jonscher A.K. Dielectric Relaxation in Solids. L.: Chelsea Dielectric Press, 1983.
11. Deng Z.G., Mauritz K.A. // Macromolecules. 1992. **25**, No. 6. P. 2369.
12. Лущекин Г.А. Полимерные пьезоэлектрики. М.: Химия, 1990.

Поступила в редакцию
06.07.98

УДК 537.6: 538.935: 538.975

ВЛИЯНИЕ *s-d*-РАССЕЯНИЯ НА КВАНТОВЫЙ РАЗМЕРНЫЙ ЭФФЕКТ В ЭЛЕКТРОПРОВОДНОСТИ ТОНКИХ ПЛЕНОК ФЕРРОМАГНИТНЫХ МЕТАЛЛОВ

А. В. Ведяев, О. А. Котельникова, Н. Г. Пугач

(кафедра магнетизма)

Рассчитана проводимость тонкой металлической пленки в рамках формализма Кубо с использованием метода функций Грина для *s-d*-обменной модели. При этом учитывается зависимость амплитуды рассеяния электронов проводимости от толщины пленки, возникающая в результате квантового размерного эффекта, и вероятность рассеяния *s*-электронов в расщепленную *d*-зону. Показано, что проводимость описывается осциллирующей функцией толщины пленки с периодами, соответствующими ферми-импульсам *d*-электронов.

В тонких металлических пленках, толщина которых сравнима с постоянной решетки, движение электронов в одном из направлений ограничено. При этом возникают так называемые состояния в квантовой яме (quantum well states) [1], приводящие к дискретизации энергетических уровней и как следствие к квантовым размерным эффектам, хорошо исследованным теоретически и обнаруженным экспериментально [2, 3]. Вычисления электропроводности тонких пленок в однозонной модели квазисвободных электронов [4–6] показали, что учет этих эффектов приводит к зависимости коэффициентов переноса от толщины пленки осциллирующего типа с периодом, обратно пропорциональным импульсу Ферми. Квантовый размерный эффект наблюдался при измерении сопротивления тонких металлических пленок [7, 8].

Ранее был разработан последовательный кванто-востатистический подход к расчету проводимости низкоразмерных систем, опирающийся на формализм Кубо и аппарат функций Грина [9, 10]. В настоящей работе этот метод развивается далее, причем учитывается не только рассеяние *s*-электронов на примесях и дефектах кристаллической решетки, но и возможность их рассеяния в *d*-зону в переходных металлах, поскольку наличие ямы оказывается на распределении плотности состояний как *s*-, так и *d*-электронов, причем последняя в свою очередь определяет вероятность *s-d*-рассеяния.

Модель

Для учета *s-d*-рассеяния будем использовать двухзонную модель с гамильтонианом

$$\hat{H} = \sum_{\mathbf{k}} \varepsilon_s(\mathbf{k}) |\mathbf{k}\rangle_s \langle \mathbf{k}|_s + \sum_{\mathbf{k}} \varepsilon_d(\mathbf{k}) |\mathbf{k}\rangle_d \langle \mathbf{k}|_d + \sum_{\mathbf{k}} \lambda (|\mathbf{k}\rangle_s \langle \mathbf{k}|_d + |\mathbf{k}\rangle_d \langle \mathbf{k}|_s),$$

где $\varepsilon_{s,d}(\mathbf{k})$ — кинетические энергии *s*- и *d*-электронов соответственно, $|\mathbf{k}\rangle$ и $\langle \mathbf{k}|$ — кет- и бра-векторы состояний с квазимпульсом \mathbf{k} , а λ — константа гибридизации.

Рассмотрим тонкую пленку толщины D . Ось Oz направим перпендикулярно плоскости пленки. Квазимпульс электронов \mathbf{k} имеет параллельную ($\boldsymbol{\kappa}$) и перпендикулярную (k) к плоскости пленки компоненты. Как известно, квазимпульс электронов в квантовой яме, образованной потенциальными барьерами на границах пленки, квантуется в направлении Oz :

$$k = \frac{\pi n}{D}, \quad n = 1, 2, \dots$$

Тогда опережающая (G^+) и запаздывающая (G^-) функции Грина *d*-электронов в смешанном $\boldsymbol{\kappa}$ - z -представлении [8] будут иметь вид

$$\hat{G}_{\alpha}^{\alpha\pm}(z, z'; \varepsilon) = \frac{2m_d a_0}{\hbar^2 k_{\alpha}^{d\pm}} \frac{\sin(k_{\alpha}^{d\pm} z') \sin(k_{\alpha}^{d\pm}(z - D))}{\sin(k_{\alpha}^{d\pm} D)}$$

при $z > z'$. Здесь

$$k_{\alpha}^{d\pm} = \frac{1}{\hbar} \sqrt{2m_d(\varepsilon \pm i\gamma_{\alpha}^d) - \kappa^2 \hbar^2} \quad (1)$$

— компонента квазимпульса d -электронов в направлении Oz , m_d — эффективная масса, a_0 — постоянная решетки, ε — энергетическая переменная, z и z' — координаты точек на оси Oz , индекс α обозначает направление проекции спина на ось намагниченности образца ($\alpha = \uparrow$ или \downarrow); коэффициент затухания d -электронов $\gamma_{\alpha}^d = \text{Im} \Sigma_{\alpha}^d$, где Σ_{α}^d — собственно энергетическая часть; при этом величина $\text{Re} \Sigma_{\alpha}^d$ может быть включена в энергетическую переменную ε с помощью перенормировки спектра.

Предположим, что d -зона расщеплена по направлению проекции спина, т. е. импульсы Ферми d -электронов $k_{Fd}^{\uparrow} \neq k_{Fd}^{\downarrow}$.

Плотность состояний d -электронов выражается через их гриновские функции по известной формуле, которая в κ - z -представлении имеет вид

$$\rho_{\alpha}^d(z, \varepsilon) = \frac{a_0^2}{4\pi^3} \text{Im} \int G_{\alpha}^{\alpha-}(z, z; \varepsilon) d\kappa.$$

Будем считать, что основной вклад в проводимость вносит движение s -электронов, но вероятность их рассеяния в d -зону пропорциональна плотности состояний d -электронов. Тогда коэффициент затухания для состояния электронов s -зоны можно записать в виде

$$\gamma_{\alpha}^s(z) = \frac{\hbar^2 k_{Fs}}{ml_s^{\alpha}} \frac{\rho_{\alpha}^d(z, \varepsilon_F)}{\rho_{\alpha 0}^d}, \quad (2)$$

где $\rho_{\alpha 0}^d$ и l_s^{α} — соответственно плотность состояний на уровне Ферми d -электронов и длина свободного пробега s -электронов для рассматриваемой модели без учета размерных эффектов, k_{Fs} — импульс Ферми s -электрона, m — его эффективная масса.

Графики зависимости коэффициента затухания электронных состояний $\gamma_{\alpha}^s(z)$ от координаты z представлены на рис. 1, a , а зависимость усредненной по координате величины $\bar{\gamma}_{\alpha}^s(D) = \frac{1}{D} \int_0^D \gamma_{\alpha}^s(z) dz$ от толщины пленки D — на рис. 1, b .

Таким образом, для движения s -электронов получен спин-зависимый потенциал, который изменяется от точки к точке внутри пленки и является функцией толщины.

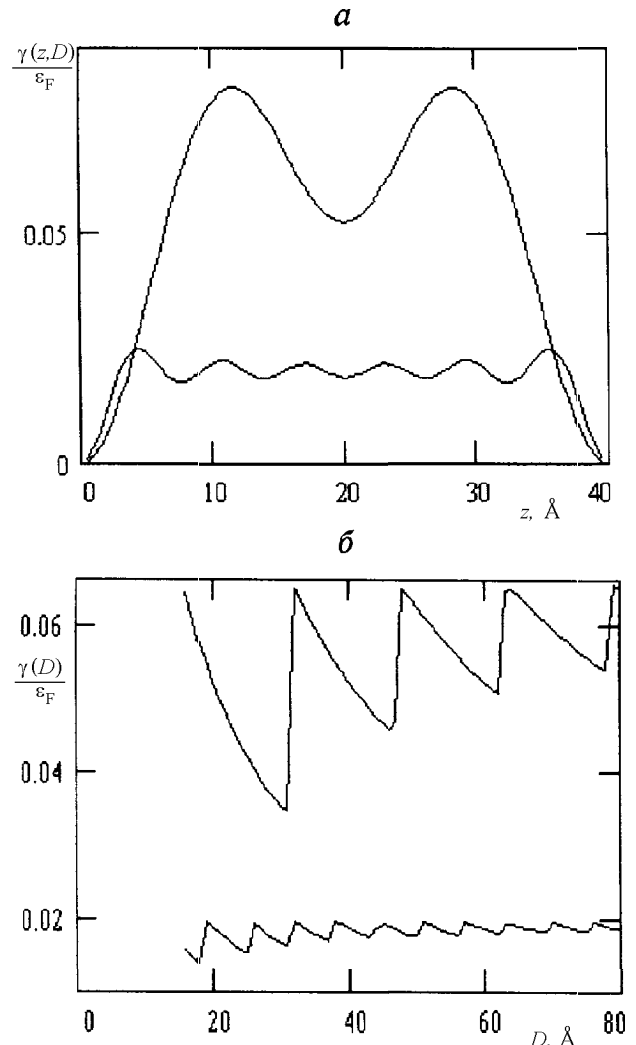


Рис. 1. Зависимость коэффициента затухания состояний s -электронов (отнесенного к их энергии Ферми) при рассеянии в d -зону от координаты рассеивающего центра в пленке толщиной $D = 40$ Å (а) и зависимость этого коэффициента, усредненного по координате, от толщины пленки D (б): магнитный момент электрона параллелен намагниченности ($k_{Fd}^{\uparrow} = 0,5$ Å $^{-1}$) — нижние кривые и антипараллелен намагниченности ($k_{Fd}^{\downarrow} = 0,2$ Å $^{-1}$) — верхние; для s -зоны $k_{Fs} = 1$ Å $^{-1}$, $l_s^{\uparrow} = 100$ Å, $l_s^{\downarrow} = 30$ Å

Функции Грина для s -зоны в присутствии этого спин-зависящего потенциала рассчитывались методом ВКБ и при $z > z'$ имели вид

$$G_{\alpha\alpha}^{WKB\pm}(z, z'; \varepsilon) = -\frac{2m\alpha_0}{\sqrt{k_{\alpha}^{\pm}(z)k_{\alpha}^{\pm}(z')}} \times \\ \times \frac{\sin \left[\int_0^{z'} k_{\alpha}^{\pm}(z_1) dz_1 \right] \sin \left[\int_z^D k_{\alpha}^{\pm}(z_1) dz_1 \right]}{\sin \left[\int_0^D k_{\alpha}^{\pm}(z_1) dz_1 \right]}, \quad (3)$$

где выражение для компоненты квазимпульса электронов проводимости $k_{\alpha}^{\pm}(z)$ аналогично (1), а коэф-

фициент затухания s -электронов $\gamma_\alpha^s(z)$ определяется плотностью состояний в d -зоне (2).

Проводимость s -электронов в плоскости пленки рассчитывалась по формуле Кубо в $\kappa-z$ -представлении:

$$\sigma_\alpha(D) = \frac{\hbar^3 e^2}{(2\pi)^3 m^2} \int \kappa^2 d\kappa \times \\ \times \frac{1}{2D} \int_0^D \int_0^z G_{\kappa\alpha}^{WKB+}(z, z'; \varepsilon_F) G_{\kappa\alpha}^{WKB-}(z, z'; \varepsilon_F) dz' dz.$$

После подстановки функций Грина (3) и соответствующих алгебраических преобразований было получено выражение для проводимости тонкой пленки:

$$\sigma(D) \approx \sum_{\alpha=\uparrow,\downarrow} \int_0^{k_F} \left\{ \frac{\text{ch}(2d_\alpha D) + (d_\alpha/c_\alpha) \sin(2c_\alpha D)}{4(c_\alpha^2 + d_\alpha^2)d_\alpha [\text{ch}(2d_\alpha D) - \cos(2c_\alpha D)]} - \frac{1}{2D(c_\alpha^2 + d_\alpha^2)^2} \right\} \kappa^3 d\kappa,$$

где

$$c_\alpha = \frac{1}{\sqrt{2}} \sqrt{\sqrt{(k_F^2 - \kappa^2)^2 + \frac{4m^2}{\hbar^4} \bar{\gamma}_\alpha^2(D)}} + (k_F^2 - \kappa^2),$$

$$d_\alpha = \frac{1}{\sqrt{2}} \sqrt{\sqrt{(k_F^2 - \kappa^2)^2 + \frac{4m^2}{\hbar^4} \bar{\gamma}_\alpha^2(D)}} - (k_F^2 - \kappa^2).$$

Графики зависимости проводимости тонкой пленки, нормированной на объемную проводимость, от толщины пленки представлены на рис. 2, 3.

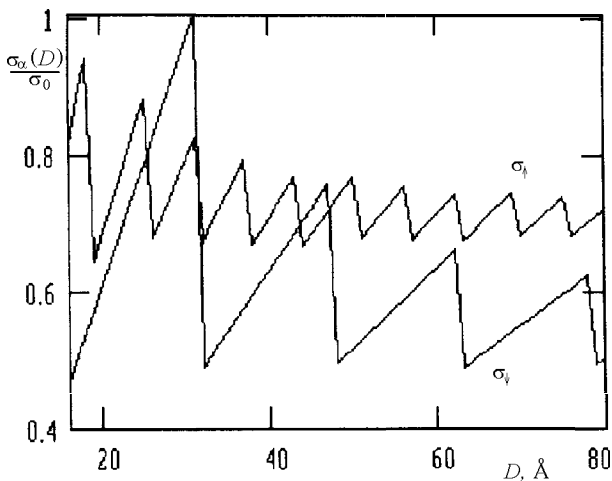


Рис. 2. Зависимость величин проводимости тонкой пленки, обусловленных электронами с различным направлением спина, от толщины этой пленки D : магнитный момент электрона параллелен намагниченности ($k_{Fd}^\uparrow = 0,5 \text{ \AA}^{-1}$) — верхняя кривая и антипараллелен намагниченности ($k_{Fd}^\downarrow = 0,2 \text{ \AA}^{-1}$) — нижняя. Проводимость рассчитана с учетом $s-d$ -рассеяния и нормирована на проводимость объемного образца σ_0 ; для s -зоны $k_{Fs} = 1 \text{ \AA}^{-1}$, $l_s^\uparrow = 100 \text{ \AA}$, $l_s^\downarrow = 30 \text{ \AA}$

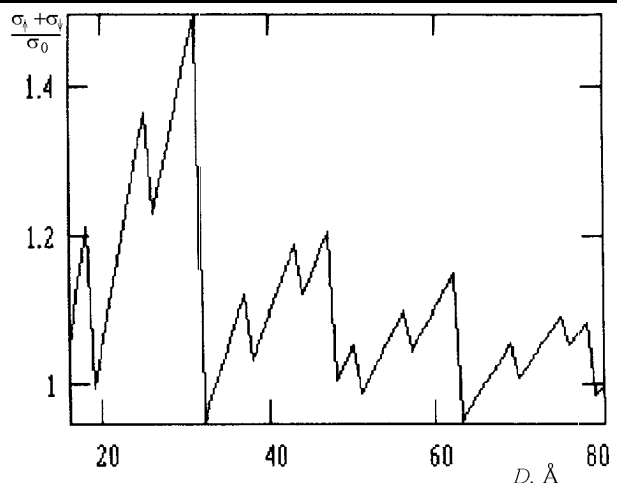


Рис. 3. Зависимость проводимости тонкой пленки $\sigma(D) = \sigma_\uparrow(D) + \sigma_\downarrow(D)$, рассчитанной с учетом $s-d$ -рассеяния и нормированной на проводимость объемного образца σ_0 , от толщины этой пленки D

Обсуждение результатов

Как видно из сравнения рис. 2 и 1, б, период осцилляций проводимости s -электронов при учете $s-d$ -рассеяния совпадает с периодом осцилляций плотности состояний в d -зоне, обратно пропорциональным импульсу Ферми d -электронов. Полная проводимость складывается из величин, соответствующих двум возможным проекциям спина на ось намагничивания. Эти величины имеют разные периоды осцилляций (рис. 3). Для сравнения на рис. 4 представлена проводимость s -электронов в плоскости тонкой металлической пленки без учета $s-d$ -рассеяния, ее период соответствует ферми-импульсу s -зоны.

Проведенный расчет позволяет сделать вывод, что при учете рассеяния s -электронов в d -зону периоды осцилляций проводимости в зависимости от толщины пленки определяются импульсами Ферми

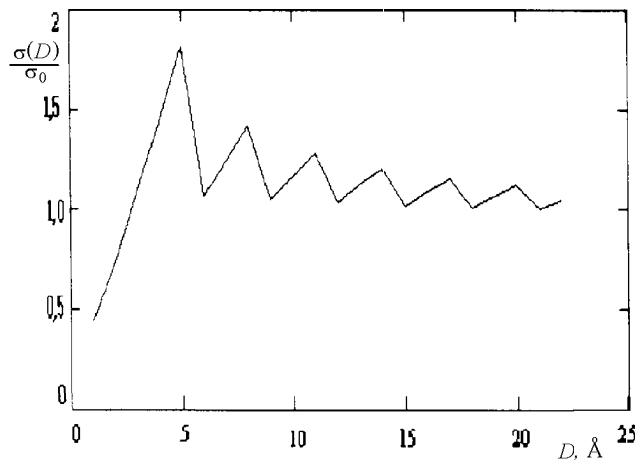


Рис. 4. Зависимость проводимости тонкой пленки $\sigma(D)$ без учета $s-d$ -рассеяния, нормированной на проводимость объемного образца σ_0 , от толщины этой пленки D ; для s -зоны $k_{Fs} = 1 \text{ \AA}^{-1}$, $l_s = 200 \text{ \AA}$

d-электронов с различными проекциями спина на ось намагниченности, хотя основными носителями заряда являются *s*-электроны. Это обстоятельство необходимо учитывать и при рассмотрении эффекта гигантского магнетосопротивления в многослойных структурах и сэндвичах.

Литература

1. Stiles M.D. // Phys. Rev. 1993. **B48**, No. 10. P. 7238.
2. Suzuki Y., Katayama T., Yoshida S. et al. // Phys. Rev. Lett. 1992. **68**. P. 3355.
3. Katayama T., Suzuki Y., Awano H. // Phys. Rev. Lett. 1988. **60**. P. 1426.

4. Сандомирский В.Б. // ЖЭТФ. 1967. **52**, № 1. С. 158.
5. Zhang X.-G., Butler W.H. // Phys. Rev. 1995. **B 51**. P. 10085.
6. Trivedi N., Ashcroft N.V. // Phys. Rev. 1988. **B38**. P. 12298.
7. Hoffmann H., Fisher G. // Thin Solid Films. 1976. **36**. P. 25.
8. Fisher G., Hoffmann H. // Solid State Commun. 1980. **35**. P. 793.
9. Camblong H.C., Levy P.M., Zhang S. // Phys. Rev. 1995. **B51**. P. 16052.
10. Crepieux A., Lacroix C., Ryzhanova N., Vedyayev A. // Phys. Lett. 1997. **A 229**. P. 401.

Поступила в редакцию
08.07.98

УДК 538.214; 537.248

ПРИРОДА СПИНСТЕКЛООБРАЗНОЙ ФАЗЫ В ПОЛУПРОВОДНИКОВЫХ СПИНОВЫХ СТЕКЛАХ СИСТЕМЫ $x \text{CuCr}_2\text{Se}_4 - (1-x)\text{Cu}_{0,5}\text{Me}_{0,5}\text{Cr}_2\text{Se}_4$ ($\text{Me} = \text{In}, \text{Ga}$)

А. И. Абрамович, Л. И. Королева

(кафедра общей физики для естественных факультетов)

Изучена зависимость магнетосопротивления $\Delta\rho/\rho$ от квадрата намагниченности σ^2 в сильных магнитных полях в системе $x \text{CuCr}_2\text{Se}_4 - (1-x)\text{Cu}_{0,5}\text{Me}_{0,5}\text{Cr}_2\text{Se}_4$ ($\text{Me} = \text{In}, \text{Ga}$). Показано, что и в спиновых стеклах (СС), и в возвратном спиновом стекле (ВСС) этой системы при температуре замораживания T_f происходит изменение наклона зависимостей $(\Delta\rho/\rho)(\sigma^2)$, что указывает на существенную перестройку спиновой системы при $T = T_f$, т. е. на наличие в ней термодинамического фазового перехода. Показано, что спинстеклообразная фаза в ВСС состоит из спинов отдельных ионов Cr^{3+} , в то время как в СС содержатся и взаимодействующие ферромагнитные кластеры.

Введение

В настоящее время в физике спиновых стекол (СС) одним из основных является вопрос о существовании фазового перехода СС – парамагнетизм (ПМ) и СС – дальний магнитный порядок (ДМП). Изучению первого из них посвящено большое количество работ, в которых применяются различные методы исследования: эффект Мессбауэра, рассеяние нейтронов, деполяризация положительных мюонов, ЯМР, ЭПР и др. Однако ни один из этих методов не позволяет однозначно установить наличие фазового перехода СС–ПМ. Фазовый переход СС–ДМП гораздо менее изучен. В настоящей работе приводится новое экспериментальное доказательство существования фазовых переходов в системе твердых растворов $x \text{CuCr}_2\text{Se}_4 - (1-x)\text{Cu}_{0,5}\text{Me}_{0,5}\text{Cr}_2\text{Se}_4$ ($\text{Me} = \text{In}, \text{Ga}$): СС–ПМ в составах с $x \leq 0,5$ и СС–ДМП в составе с $x = 0,125$ ($\text{Me} = \text{Ga}$).

Известно, что в магнетиках магнетосопротивление $\Delta\rho/\rho$ пропорционально квадрату намагниченности σ^2 и наклон кривых зависимости $(\Delta\rho/\rho)(\sigma^2)$ в области сильных магнитных полей характеризует интенсивность парапроцесса при данной температуре. Для выяснения природы СС-фазы целесообразно сравнить этот наклон для двух близких по составу образцов, один из которых является магнетиком с ДМП, а другой – СС, при одинаковых температурах, а также для возвратных спиновых стекол

(ВСС) в различных температурных областях, а именно в областях, соответствующих ДМП- и СС-состоянию. Если наклон этих кривых близок по величине, то СС-фаза, по всей видимости, представляет собой систему кластеров, внутри которых тот же магнитный порядок, что и в фазе с ДМП. Если же наклон существенно различается, то можно говорить о существенном отличии СС-фазы от фазы с ДМП. Можно предположить несколько вариантов структуры СС-фазы, а именно: а) структура из кластеров с тем же магнитным порядком, что и фаза с ДМП, кластеров с иным магнитным порядком, чем фаза с ДМП, и других носителей магнитных моментов, например спинов отдельных ионов; б) структура из кластеров с иным магнитным порядком, чем фаза с ДМП; в) из кластеров с иным магнитным порядком, чем фаза с ДМП, и отдельных магнитных ионов; г) из спинов отдельных магнитных ионов. В последнем случае следует ожидать отсутствия частотной зависимости температуры замораживания T_f . Подобное сравнение наклона зависимостей $(\Delta\rho/\rho)(\sigma^2)$ можно провести и для одного образца с СС-состоянием в различных температурных областях: при $T > T_f$ и $T < T_f$.

Ранее нами были изучены магнитные и электрические свойства системы твердых растворов $x \text{CuCr}_2\text{Se}_4 - (1-x)\text{Cu}_{0,5}\text{Me}_{0,5}\text{Cr}_2\text{Se}_4$ ($\text{Me} = \text{In}, \text{Ga}$) [1–6]. Было показано, что составы с $0 \leq x \leq 0,1$ являются невырожденными полупроводниками и об-